

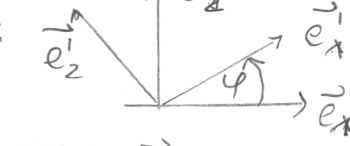
1
2

Es drehe sich vor IS aus gesehen um die \vec{z} , d.h. \vec{e}_3 -Achse mit $\dot{\varphi}(t)$ in pos. Richtung. \vec{e}_3 $\omega(t) = \dot{\varphi}(t)$

$$\mathbb{D}(t) = \begin{pmatrix} \cos \varphi(t), \sin \varphi(t), 0 \\ -\sin \varphi(t), \cos \varphi(t), 0 \\ 0, 0, 1 \end{pmatrix}$$

$$\vec{e}_i'(t) = \sum_{j=1}^3 \mathbb{D}_{i,j}(t) \vec{e}_j \quad (\text{S. 4})$$

Check:



$$\left. \begin{array}{l} \vec{e}_1' = +1 \cdot \vec{e}_2 \\ \vec{e}_2' = -1 \cdot \vec{e}_1 \end{array} \right\}$$

$$\mathbb{R}(t) = \overset{\circ}{\mathbb{D}}(t) \quad \overset{\circ}{\mathbb{D}}(t)^T = \overset{\circ}{\varphi} \begin{pmatrix} -\sin \varphi(t), \cos \varphi(t), 0 \\ -\cos \varphi(t), -\sin \varphi(t), 0 \\ 0, 0, 1 \end{pmatrix} \begin{pmatrix} \cos \varphi(t), \sin \varphi(t), 0 \\ -\sin \varphi(t), \cos \varphi(t), 0 \\ 0, 0, 1 \end{pmatrix}$$

$$= \overset{\circ}{\varphi} \begin{pmatrix} 0 & 1 & 0 \\ -1 & 0 & 0 \\ 0 & 0 & 0 \end{pmatrix}$$

Bem. die Matrix ist die Generatoren für Drehungen um die z -Achse.

$$\mathbb{D} = \mathbb{1} + T_3 \overset{\circ}{\varphi} \quad (1. \text{ Ordnung})$$

$$\overset{\circ}{\mathbb{D}} = T_3 \overset{\circ}{\varphi}, \quad \overset{\circ}{\mathbb{D}} \overset{\circ}{\mathbb{D}}^T = \overset{\circ}{\varphi} T_3 \quad (1 + T_3 \overset{\circ}{\varphi})$$

T_3 ist abh.

$$\text{Es war (S. 4)} \quad \mathbb{R}_{i,j}(t) = \sum_{k=1}^3 \mathbb{E}_{i,k} \sin \omega_k(t)$$

$$\mathbb{R}_{1,2} = \omega_3 = +\omega, \quad \mathbb{R}_{2,1} = -\omega_3 = -1 \quad \checkmark$$

$$\omega_1 = 0 = \omega_2, \quad \vec{\omega}(t) = \omega(t) \vec{e}_3'(t) = \omega(t) \vec{e}_3$$

Def. S. 4, Blatt 9 wie oben Drehung um \vec{e}_3 .

↓

Allgemein richtig? $\mathbb{D}(t)$ für Drehung $\vec{\varphi} = \varphi(t) \vec{T}$, Perk Richtung $\vec{\varphi}$.

Mittels Generatoren T_1, T_2, T_3 aus $\exp(\vec{\varphi} \cdot \vec{T})$ mittels Entwicklung und Cayley-Hamilton Th. für 3×3 Matrix $(\vec{\varphi} \cdot \vec{T})$. Kompliziertes Matrizergebnis $\approx \mathbb{1}, \vec{\varphi} \cdot \vec{T}$ und $(\vec{\varphi} \cdot \vec{T})^2$ (reicht dank C.-H. Th.).

Dann $\overset{\circ}{\mathbb{D}} \overset{\circ}{\mathbb{D}}^T$ bilden, daraus $\vec{\omega}$ mit $\hat{\omega}_k = \frac{1}{2} \epsilon_{ijk} \omega_j$ Bem.

Was in 1. Ordnung: $\exp(\vec{\varphi} \cdot \vec{T}) = \mathbb{1} + \vec{\varphi} \cdot \vec{T}$, $\overset{\circ}{\mathbb{D}} = \overset{\circ}{\varphi} \vec{\varphi} \cdot \vec{T}$

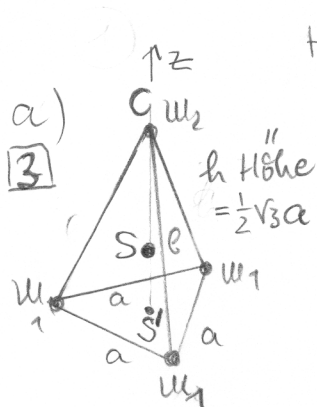
$$\vec{\omega} = \overset{\circ}{\mathbb{D}} \overset{\circ}{\mathbb{D}}^T = \overset{\circ}{\varphi} \vec{\varphi} \cdot \vec{T} (\mathbb{1} + \vec{\varphi} \vec{\varphi} \cdot \vec{T}^T) \approx \overset{\circ}{\varphi} \vec{\varphi} \cdot \vec{T}, \text{ wie oben, aber}$$

adat für endliche Drehungen nicht nur infinitesimal.

Auch allgemein: $\vec{\omega} = \omega(t) \vec{\omega}$ mit $\frac{1}{2} \vec{\omega} = \overset{\circ}{\varphi}$.

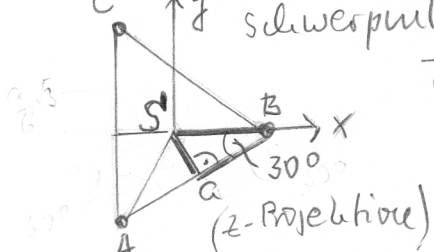
↑

(2) Trägheitsmomente (teusen) diskret und kontinuierlich



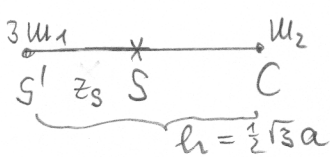
Hauptträgheitsmomente: 3-zählige Symmetrie um Achse durch w_2 und S (Schwerpunkt) \Rightarrow eine der Hauptträgheitsachsen, die anderen \perp dazu.
Wegen Symmetrie des Bodendreiecks klar dass eine der Hauptachsen längs einer Winkelhalbierenden liegt. Die 3. Hauptachse \perp zu den beiden anderen.

O-Punkt in S legen. Wo? Unteres Dreieck als S' Ersatzschwerpunkt: schneidet Winkel- bzw. Seitenhalbierenden.



$$\overline{S'B} = \frac{a}{2} \cdot \frac{1}{\cos 30^\circ} = \frac{a}{\sqrt{3}} = \frac{1}{3} \sqrt{3} a = \frac{2}{3} h \quad \begin{array}{l} \text{Ular:} \\ \text{Teilung} \\ z:1 \\ \text{von } S' \end{array}$$

$$\cos 30^\circ = \frac{1}{2} \sqrt{3}$$

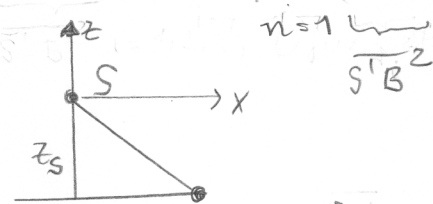


$$z_S \text{ aus: } z_S = \frac{1}{3m_1 + m_2} (0 + m_2 h) \\ = \frac{m_2}{M} h = \frac{m_2}{M} \frac{1}{2} \sqrt{3} a, \quad M = 3m_1 + m_2$$

$$\Theta_z = \Theta_{zz} = \sum_{i=1}^4 m_i (\bar{r}_i^2 - z_i^2) = \sum_{i=1}^4 m_i (x_i^2 + y_i^2) = 3m_1 \sum_{i=1}^3 (x_i^2 + y_i^2)$$

(da m_2 Masse $x_4 = y_4 = 0$) O-Punkt in S :

$$= 3m_1 \left(\frac{\sqrt{3}}{3} \right)^2 a^2 = m_1 a^2$$



$$\Theta_x = \Theta_{xx} = \sum_{i=1}^4 m_i (y_i^2 + z_i^2) = m_1 \left[2 \cdot \left(\frac{a}{2} \right)^2 + 0 \right] + 3 \cdot \left(-\frac{m_2}{M} \frac{1}{2} \sqrt{3} a \right)^2$$

+ $m_2 \left[0 + \frac{SC^2}{2} \right]$

$$= a^2 \left[m_1 \frac{1}{2} + \frac{m_1 m_2^2}{M^2} \frac{9}{4} + \frac{m_2 m_1^2}{M^2} \frac{9 \cdot 3}{4} \right] \quad \begin{array}{l} \uparrow (h - z_S)^2 = \left(\frac{h}{M} 3m_1 \right)^2 \\ \downarrow h^2 \rightarrow a^2 \end{array}$$

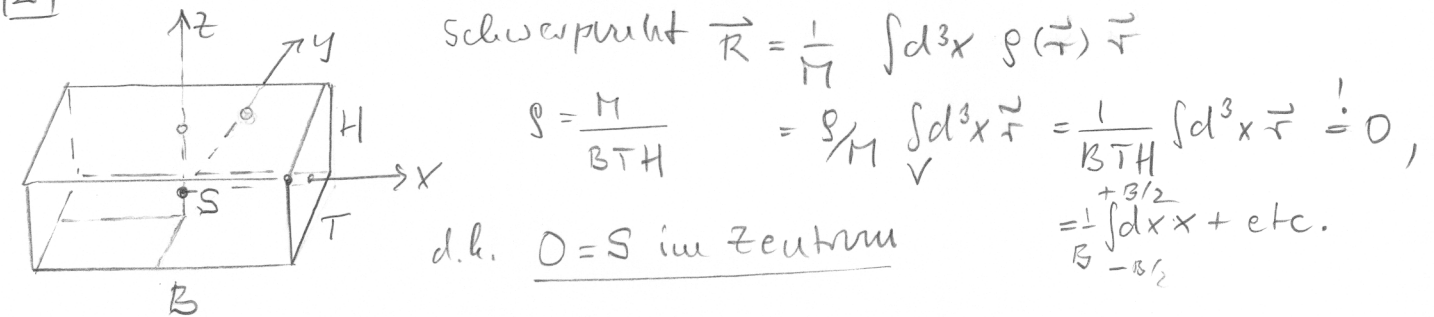
$$= \frac{a^2 m_1}{M^2} [2m_1^2 + 9m_2^2 + m_2 m_1 27] \quad \begin{array}{l} \text{vom } h \frac{M - m_2}{M} \end{array}$$

$$= \frac{a^2 m_1}{M^2} [2(9m_1^2 + 6m_1 m_2 + m_2^2) + 9m_2^2 + 27m_1 m_2] \\ [18m_1^2 + 11m_2^2 + 39m_1 m_2]$$

$$\Theta_x = \frac{a^2 m_1}{4 M^2} (3m_1 + m_2)(6m_1 + 11m_2) = \frac{a^2 m_1}{4 M} (6m_1 + 11m_2)$$

$= \Theta_u$ wegen Symmetrie. Teilst. 1-1 (117.11. o.1. h = $\frac{1}{2} \sqrt{3} a$)

(26) Kontinuierlicher Fall: Hauptträgheitsmomente einer homogenen Quader, Fläche M , mit Breite B , Tiefe T und Höhe H . (8)



$$\Theta_x = \Theta_{xx} = g \int_V d^3x (y^2 + z^2) = g B \frac{1}{3} \frac{2}{P} (HT^3 + TH^3) = \frac{M}{72} (T^2 + H^2)$$

$$\Theta_y = \Theta_{yy} = g \int_V d^3x (z^2 + x^2) = \dots = \frac{M}{72} (H^2 + B^2)$$

$$\Theta_z = \Theta_{zz} = g \int_V d^3x (x^2 + y^2) = \dots = \frac{M}{72} (B^2 + T^2)$$

Bei Drehung um eine Achse längs Schnittgraden eines flachen Rechtecks mit einer darauf senkrecht stehenden Symmetrieebene

Winkelsatz

- i) HT Quadersseite:
 - 1) längs y-Richtung: $\Theta_y + M(\frac{B}{2})^2$
(egal welche der zwei Seiten parallel (yz)-Ebene)
 - 2) längs z-Richtung: $\Theta_z + M(\frac{H}{2})^2$
- ii) BT Quaderende:
 - 1) längs x-Richtung: $\Theta_x + M(\frac{T}{2})^2$
(parallel (xy)-Ebene)
 - 2) längs y-Richtung: $\Theta_y + M(\frac{H}{2})^2$
- iii) BH Quaderende:
 - 1) längs x-Achse: $\Theta_x + M(\frac{T}{2})^2$
parallel (xz)-Ebene
 - 2) längs z-Achse: $\Theta_z + M(\frac{T}{2})^2$

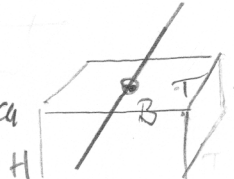
D.h. i) HT-Seite $\begin{cases} y\text{-Rtg} & M/12 (H^2 + 4B^2) \\ z\text{-Rtg} & M/12 (4B^2 + T^2) \end{cases}$

$B \quad T \quad H$ $x \quad y \quad z$	ii) BT-Seite $\begin{cases} x\text{-Rtg} & M/12 (T^2 + 4H^2) \\ y\text{-Rtg} & M/12 (4H^2 + B^2) \end{cases}$ iii) BH-Seite $\begin{cases} x\text{-Rtg} & M/12 (4T^2 + H^2) \\ z\text{-Rtg} & M/12 (B^2 + 4T^2) \end{cases}$
--	---

Allgemein:

O.B.d.A. BT-Seite oben

(ohne Beschränkung
der Allgemeinheit)



$$\frac{M}{12} (B^2 + 4H^2)$$

Achse in Symmetrieebene zu HB
(|| zur T-Seite) und in Ebene BT

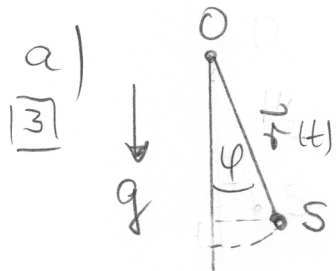


fehlendes H als $4H^2$

(3)

③ Phys. Pendel mit Quader B, T, H.

O-Punkt siehe Skizze (oben in Mitte, Drehung wie angegeben). Kleine Auslenkungen φ [vgl. allg. Fall L.-L.I. S. 149 3.]



Lagrangefunktion mit S (Schwerpunkt als Ursprung des Massezentrialsystems) (siehe Skizze S. 1: IS-Ursprung O,

$$\vec{r}_0(t) = \vec{r}(t) \text{ vom Schwerpunkt}, \vec{r}_P = \vec{0}$$

$$= \overrightarrow{OS} \quad (\vec{R} \text{ auf Blatt 9 1) Lagrangefkt.})$$

$L = T - U$ umgerechnet vom IS auf Massezentrialsystem.

[Blatt 9 ④ $\vec{v}^1 = 0, \vec{r} = \vec{r}(t), \vec{r}^1$ bei $\vec{r}^1 = m(\vec{v} + \vec{r})^2 \rightarrow$ Rot.]

$$T = \frac{1}{2} M \dot{\vec{r}}^2 + \frac{1}{2} \Theta_y \dot{\varphi}^2 \text{ in verallg. Koordinaten } \vec{r}, \dot{\varphi}:$$

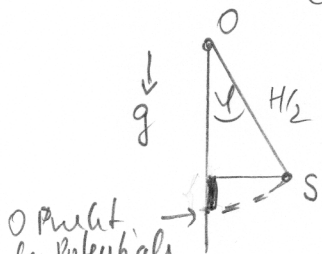
$$\vec{r} = \frac{H}{2} \begin{pmatrix} \cos \varphi \\ \sin \varphi \end{pmatrix}, \quad \dot{\vec{r}} = \frac{H}{2} \begin{pmatrix} -\sin \varphi \\ \cos \varphi \end{pmatrix} \dot{\varphi}, \quad \dot{\vec{r}}^2 = \left(\frac{H}{2}\right)^2 \dot{\varphi}^2$$

$$T = T(\dot{\varphi}) = \frac{1}{2} \left(M \left(\frac{H}{2}\right)^2 + \Theta_y \right) \dot{\varphi}^2 \quad [\text{Nach Steiner gerade}]$$

$$= \frac{1}{2} \Theta_y \dot{\varphi}^2; \quad \Theta_y^0 = \frac{M}{12} (B^2 + 4H^2) \quad \text{vom 26. unten}$$

Potential mit O-Punkt im tiefsten S-Pendelpunkt:

$$U = Mg \frac{H}{2} (1 - \cos \varphi) \approx Mg \frac{H}{2} \frac{\varphi^2}{2} = Mg \frac{H}{4} \varphi^2$$



$$L = L(\varphi, \dot{\varphi}) = \frac{1}{2} \Theta_y \dot{\varphi}^2 - \frac{1}{4} MgH \varphi^2$$

[in Blatt 9 Aufg. 1] $U(\vec{r}') = U(\vec{r}' + \vec{r})$ hier $\vec{r}' = \vec{0}; U(\vec{r})$

$$b) \quad \text{Euler-Lagrange-Gl. } 0 = \frac{d}{dt} \frac{\partial L}{\partial \dot{\varphi}} - \frac{\partial L}{\partial \varphi} = \Theta_y^0 \ddot{\varphi} + \frac{1}{2} MgH \varphi$$

$$c) \quad \ddot{\varphi} + \frac{MgH/2}{\Theta_y^0} \varphi = 0 \quad \text{D.l. } \omega_0^2 := \frac{MgH/2}{\Theta_y^0}$$

$\ddot{\varphi} + \omega_0^2 \varphi = 0, \quad \text{Harmonische Schwingung}$
Standardlösung (wie nicht)

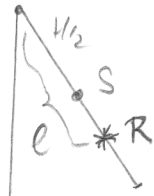
$$T = 2\pi \sqrt{\frac{\Theta_y^0}{Mg \cdot H_2}} = 2\pi \sqrt{\frac{B^2 + 4H^2}{6gH}}$$
(10)

Mathematisches Pendel (Fadenpendel) hat $T = 2\pi \sqrt{\frac{l}{g}}$,

d.h. $\ell = \frac{\Theta_y^0}{M \cdot H_2}$ "reduzierte" Pendellänge. (H_2 = s Schwerpunktsh-
abstand)

lege Drehachse in Abstand ℓ von O (gleiche Rückung) dann
mit Steinies in Formel neues Θ_y verwenden, aus Abstand

O zu S: $\ell - H_2$: via Steinies aus Θ_y (bzw. S-Punkt)



$$\Theta_{nev}^R = \Theta_y + M(l - H_2)^2$$

Never Abstand $RS = l - H_2$, neues ℓ' (red. Länge)

$$\begin{aligned} \ell' &= \frac{\Theta_{nev}^R}{M(l - H_2)} = \frac{\Theta_y}{M(l - H_2)} + \ell - H_2 = \ell + \frac{\Theta_y - M H_2 (l - H_2)}{M(l - H_2)} \\ &= \ell + \frac{\Theta_y - M H_2 (\Theta_y / M H_2)}{M(l - H_2)} = \ell \end{aligned}$$

D.h. gleiche Schwingungsduer T, wenn kleine schwing.
um R* (d.h. nach Umlippen des Pendels und
kleine Auslenkungen) betrachtet. Reversionspendel

(4) Tensoren bzgl. orthogonale Transformationen der kartenischen Basis $\{\vec{e}_i\}_{i=1}^3$. $\vec{e}_i \cdot \vec{e}_j = \delta_{ij}$ (Kronecker-Symbol, bessere euklidische Metrik.) (11)

$$\alpha^T \alpha = 1 = \alpha \alpha^T, \quad \alpha_{ij} (\alpha^T)_{jk} = \delta_{ik} \quad (\text{Symmetrisierung})$$

$A'_{i_1 \dots i_N} = \alpha_{i_1 j_1} \dots \alpha_{i_N j_N} A_{j_1 \dots j_N}$ Tensor N-ter Stufe,

3^N Einträge (N Summen $\sum_{j_1=1}^3 \dots \sum_{j_N=1}^3$ voneinander unabhängig)

$N=0$: $A' = A$ Skalar (invariante Tensor)

[Hier nur konstante Einträge, keine Felder]

$N=1$: $A'_i = \alpha_{ij} A_j$ Vektor \vec{A} mit Komponenten A_i :

$$\text{d.h. } \vec{A} = A_i \vec{e}_i.$$

- Addition und Multiplikation mit Zahlen (Skalaren) aus Körper (\mathbb{R}, \mathbb{C}). Addition nur bei gleicher Stufe und gleichen Indices

$$\alpha A_{i_1 \dots i_N} + \beta B_{i_1 \dots i_N} = C_{i_1 \dots i_N}$$

- Tensormultiplikation: $A_{i_1 \dots i_N} B_{j_1 \dots j_M} = C_{i_1 \dots i_N j_1 \dots j_M}$
Stufen egal, Indices egal, never Tensor $N+M$ Stufe.

a) $\vec{e}'_i = \alpha_{ij} \vec{e}_j$ Basistransformation (kartenisch \vec{e}'_i auf)

$\boxed{2} \quad \vec{A} = A_i \vec{e}_i, \quad \vec{e}'_i = (\alpha^T)_{ik} \vec{e}'_k$

$$= A_i (\alpha^T)_{ik} \vec{e}'_k = A_i \alpha_{ki} \vec{e}'_k =: A'_k \vec{e}'_k$$

d.h. $A'_k = \alpha_{ki} A_i$ (vertauschbare Komponenten)
wie das Stufe 1 Transformationsgesetz.

b) $\delta'_{ij} = \alpha_{ik} \alpha_{je} \delta_{ke} = \alpha_{ie} \alpha_{je} = \alpha_{ie} (\alpha^T)_{ej}$

$\boxed{1} \quad = (\alpha \alpha^T)_{ij} = \delta_{ij}, \text{ also } \alpha \delta \alpha^T = \delta_{ij}$

D.h. δ -Symbol (euklidische Metrik) invariant.

c) $B_{ij} = \alpha_{ij_1} \alpha_{ij_2} B_{j_1 j_2} = \alpha_{ij_1} \alpha_{ij_2} A_{j_1 e j_2 u} \delta_{eu}$ (12)

2 2-Tensor Def. B

rechte Seite

$$\begin{aligned}
 A_{ieju} \delta_{eu} &= \alpha_{ij_1} \alpha_{ej_2} \underbrace{\alpha_{jj_3} \alpha_{uj_4}}_{\text{(invariant nach b)}} A_{j_1 j_2 j_3 j_4} \delta_{eu} \\
 &= \alpha_{ij_1} (\underbrace{\alpha_{ej_2} \alpha_{ej_4}}_{(\alpha^T)_{j_2 e} \alpha_{ej_4}}) \alpha_{jj_3} A_{j_1 j_2 j_3 j_4} \\
 &\quad (\alpha^T)_{j_2 e} \alpha_{ej_4} = \delta_{j_2 j_4} \\
 &= \alpha_{ej_1} \alpha_{jj_3} A_{j_1 j_2 j_3 j_4} \delta_{j_2 j_4} \quad \text{Summationsindizes} \\
 &\quad \text{umbenennen, } j_3 \rightarrow j_2 \\
 &= \alpha_{ij_1} \alpha_{jj_2} A_{j_1 e j_2 u} \delta_{eu} \quad j_2 \rightarrow e \\
 &\quad \text{also Behauptung.} \quad j_4 \rightarrow u
 \end{aligned}$$

Allgemein: Neutralität von Indexpaaren ist mit Tensorgesetz verträglich.

d) ϵ -Symbol als Pseudotensor (Levi-Civita-Tensor)
(Gesetz der Doppelsumme)

3 $\epsilon'_{ijk} = \alpha_{ie} \alpha_{jm} \alpha_{kn} \epsilon_{eijn}$

Verwende erst $\epsilon'_{123} = \alpha_{1e} \alpha_{2m} \alpha_{3n} \epsilon_{eumn}$
= $\text{Det } \alpha$

Definition der Determinante. (Check mit Sams-Regel)

Dann z.B. $\epsilon'_{213} = \alpha_{2e} \alpha_{1m} \alpha_{3n} \epsilon_{eumn}$ Indexumkehrung $e \leftrightarrow m$
 $= \alpha_{1e} \alpha_{2m} \alpha_{3n} \epsilon_{eumn}$
 $= - \alpha_{1e} \alpha_{em} \alpha_{3n} \epsilon_{eumn}$
 $= - \text{Det } \alpha$

etc. Symmetrie wie von ϵ -Symbol.

Z.B. $\epsilon'_{ijk} = \text{Det } \alpha \epsilon_{ijk}$ $\left(\begin{array}{l} \text{Pseudotensor} \\ \text{"siehe S. 12"} \end{array} \right)$

Also nicht invariant wenn $\text{Det } \alpha = -1$ (einzige)

Alternative zu $\text{Det } \alpha = +1$ eig. Det α^T , wofür $1 = \text{Det } \alpha \alpha^T$
 $= \text{Det } \alpha \text{ Det } \alpha^T = (\text{Det } \alpha)^2$

e) Trägheitskettens Θ_{ij} ist 2-stufiger Tensor weil (B)

[1]

$$\Theta'_{ij} = \alpha_{iu} \alpha_{je} \Theta_{ue} = (\alpha \Theta \alpha^T)_{ij} \text{ gilt bei}$$

Transformation der Koordinatenbasis (Vorlesung)

Θ_{ij} ist symmetrisch: $\Theta_{ij} = \Theta_{ji}$ von der Definition

$$\Theta_{ij} = \sum_{u=1}^N m_u (\tilde{r}_u^2 \delta_{ij} - x_{ui} x_{uj})$$

Bilte erwähnen In Vorlesung verwendet Satz: $(\alpha \Theta \alpha^T) = \text{Diagonal}$

$$= \begin{pmatrix} \Theta_1 & 0 \\ 0 & \Theta_2 & 0 \\ 0 & 0 & \Theta_3 \end{pmatrix} \text{ zu beweisen, da } \Theta_{ij} \text{ symmetrisch}$$

(null). Beachte: die Eigenwerte von Θ sind $\Theta_1, \Theta_2, \Theta_3$ und die zugehörigen normierten Eigenvektoren stehen in den Spalten von α^T (nicht α)

da $\Theta \alpha^T = \alpha^T \mathcal{J} = \mathcal{J} \begin{pmatrix} \Theta_1 \alpha_{11}^T & \Theta_2 \alpha_{12}^T & \Theta_3 \alpha_{13}^T \\ \Theta_1 \alpha_{21}^T & \Theta_2 \alpha_{22}^T & \Theta_3 \alpha_{23}^T \\ \Theta_1 \alpha_{31}^T & \Theta_2 \alpha_{32}^T & \Theta_3 \alpha_{33}^T \end{pmatrix}$

$$\tilde{\omega}^{(j)} := \begin{pmatrix} \alpha_{1j}^T \\ \alpha_{2j}^T \\ \alpha_{3j}^T \end{pmatrix}, \text{ also } \Theta \tilde{\omega}^{(j)} = \Theta_j \tilde{\omega}^{(j)}, j=1, 2, 3.$$

Char. Polynom zu ④: $\varphi(d) = \det(\Theta - d \mathbb{1})$, Grad 3
Eigenwerte: $\Theta_1, \Theta_2, \Theta_3$.
Polynom in d .

Bew.: zum ε -Pseudotensor.

Ein Pseudotensor transformiert unter orthogonaler Transformation α ($\alpha^T \alpha = \mathbb{1} = \alpha \alpha^T$): (Stufe N)

$$A'_{i_1 i_2 \dots i_N} = \det \alpha \alpha_{i_1 j_1} \dots \alpha_{i_N j_N} A_{j_1 \dots j_N}$$

(also wie ein Tensor bzgl. Drehungen ($\det \alpha = 1$) und mit extra-Zeichen bzgl. Spiegelungen ($\det \alpha = -1$). z.B. ein

gewöhnlicher $N=3$ Tensor bzgl. Raumspiegelung (Parität) (14)

$$\alpha_{ij} = -\delta_{ij} : A'_{1123} = (-1)^3 A_{1123} = -A_{1123}.$$

Ein Pseudotensor der Stufe 3 bzgl. Paritätstransformationen
 $A'_{1123} = + A_{1123}$.

Da E_{1123} ein unruhiges Symbol ist, verlangt man
Invarianz bzgl. aller orthogonalen Transformationen.
Daher braucht man bzgl. $\det \alpha = 1$ Transformationen
 ε -als $N=3$ Pseudotensor. E_{1123} ist ein unruhiger
invarianter Pseudotensor. [Analog zum Kronecker-Sym-
bol: unruhiger invarianter Tensor.]

Zusatzaufgabe: $L_i := E_{ijk} \tau_j p_k$, ($\vec{L} = \vec{\tau} \times \vec{p}$)

Wenn man bei orthog. Transformationen ε E_{ijk} als
invarianter Pseudotensor und $\vec{\tau}$ und \vec{p} jeweils als
Stufe 1 Tensoren (polare Vektoren) transformiert
folgt, dass \vec{L} wie ein Stufe 1 Pseudotensor, d.h.
Pseudovektor (auch axialer Vektor genannt) trans-
formiert d.h. speziell unter Raumspiegelung: $L'_i = L_i$,
wie es z.B. für ein Teilchen auf einer Kreisbahn
sein wird:

